規則的に配列されたタンク群に作用する津波波力に関する水理模型実験

鹿児島大学 工学部 学生会員 〇坂口凌雅

鹿児島大学 工学部 学生会員 末吉遼大

1. 研究背景•目的

2011 年の東北太平洋沖地震では、大型構造物が密集 した沿岸域をはじめとし甚大な被害を受けた。また、南 海トラフ巨大地震被害予測では、巨大津波が襲来する 事が想定されており、沿岸域の石油タンク群等の構造 物は遡上津波によって被災することが想定されている。 石油備蓄基地のように構造物が密集した施設における 構造物群に作用する津波波力は、構造物の設置条件に 大きく影響を受けることが考えられる。そこで本研究 は、実際の屋外タンク群は格子配列または千鳥配列で ある点に着目し、タンクの配置条件がタンク群へ作用 する最大波力に与える影響と、避難ビル等の津波耐力 設計に使用される無次元水位 α と Fr 数の関係について 水理模型実験により検討した。

2. 模型実験

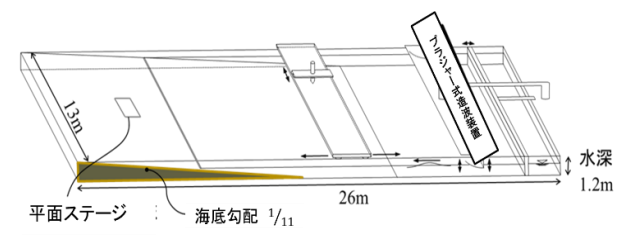
2-1. 模型実験概要

鹿児島大学が保有するプランジャー式造波装置付き 平面波動水槽を図1に示す。 この水槽の岸側斜面上の 平面ステージ上に実際の石油備蓄基地を想定した 1/100 スケールの構造物模型を 6 つ設置した。また格 子・千鳥配列それぞれ 3case の配置条件を設定した。各 caseにおいて、波力とタンク間の水位変動を3分力計、 容量式波高計を用いて計測を行い、タンクへの津波波 力がタンクの配置条件から受ける影響を検討した。

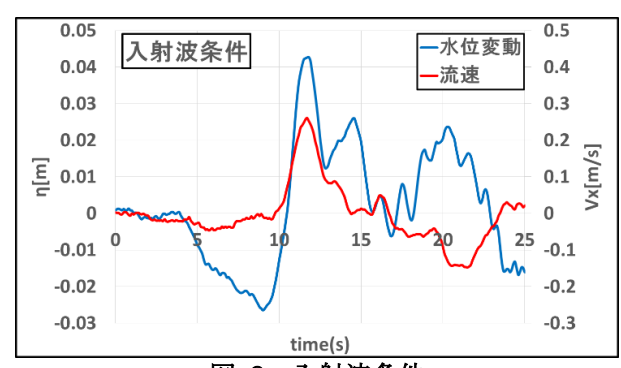
2-2. 実験条件

岸側斜面位置における入射波条件を図 2 に示す。プ ランジャー式造波装置を使用するため波が分散してい ることがわかる。また平面ステージ上には防油堤は想 定せず、タンク模型を6つ設置した。タンクの配置条件 を図 3 に示す。case1~case3 は格子配列である。タン ク直径 D(0.10m) を基準とし、0.5D、1.0D、2.0D と格子 間隔を変化させた。 case4~case6 は千鳥配列である。 岸沖方向・沿岸方向のタンク間隔は 1.00 とし、前列タ ンク A・B 間の中央に後列タンク C の中心が来るように 配置したものを case4 とした。case4 を基本として、 0.5D、1.0D と、間隔を固定した状態で後列タンクを沿 岸方向に移動させた。格子配列の場合はタンク A~D、 千鳥配列の場合は後列タンク C・D に作用する津波波力 の計測を行った。また、格子配列については各タンク間 の水位変動を計測し、波力の作用位置を計測結果から 導き、既往研究と比較した。千鳥配列では、比較対象と して、タンクの岸沖方向、沿岸方向の間隔が等しい case2 の後列タンク C・D を加えて検討を行った。基本 的に各 case とも平均的なデータが 3 つ以上取得できる まで継続し計測を行い、得られたデータの平均値を計 測データに採用した。

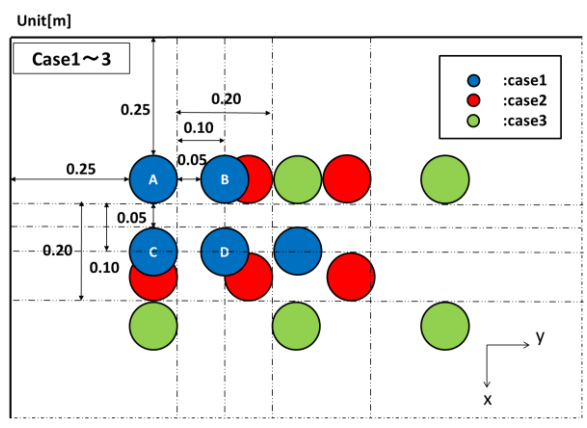
鹿児島大学 工学部 学生会員 田中友崇 鹿児島大学 正会員 技術部 井崎丈 長山昭夫 鹿児島大学 工学部 正会員



平面波動水槽 図 1



入射波条件 図 2



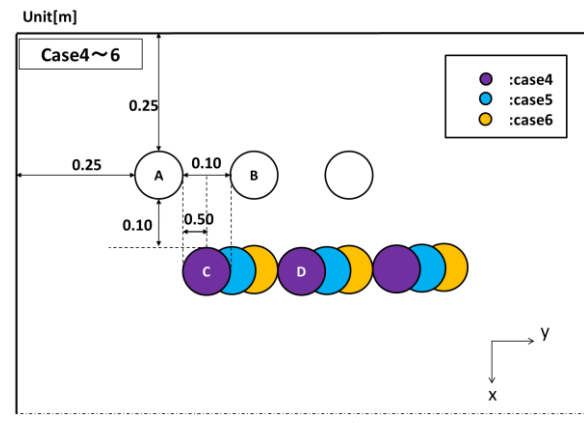


図 3 配置条件

3. 実験結果・考察

3-1. 格子配列のタンク群へ作用する津波波力

格子配列 case1~3における各タンクに作用する津波波力の測定結果を図 4 に示す。図の縦軸は最大波力を表しており各タンクに作用する津波波力の最大値を比較した。前列タンク A・B に着目すると間隔が最も狭い case1 で津波波力は最も大きくなり格子間隔が広くなるほど小さくなる傾向がある。格子間隔が狭くなると隣接するタンクからの反射波の影響を受けやすくなるためこのような結果が得られたと考えられる。後列タンク C は間隔が広くなるほど作用波力が大きくなる傾向がみられるが、後列タンク D は case2 で最大となっており、前列タンクと同様の傾向はみられなかった。

次に後列タンクへの作用波力の減少率に着目すると、表 1 に示すようにタンクの設置間隔の最も狭い case1 で約 54%、間隔が大きい case3 では約 32%となった。これによりタンクの間隔が広いほど減少率が小さくなることがわかる。これは間隔が広いほど前列タンクの波の遮蔽効果が小さくなり、タンク間に多くの水が遡上してくることで波力が上昇するためだと考えられる。

既往研究による波力の作用位置に関する算定式と本 研究の実験結果を比較したものを図 5 に示す。縦軸α はタンク間の水位変動を構造物がない条件における同 位置の水位変動で除して無次元化した。横軸は比エネ ルギーが最大となるときの Fr 数であり、データ整理方 法は既往文献を参考に実施した。まず図中白抜き印の 前列タンクに着目すると、Fr 数は 1.0 付近に集中して おり、各算定式によって囲まれた領域内にαがある程 度存在していることがわかる。対して、図中黒塗印の後 列タンクは、Fr 数のばらつきが大きく各算定式によっ て囲まれた領域外に多くの点が存在する。これは既往 文献が、単体構造物のみを扱っていること、造波条件や 模型スケールが異なることが影響していることが考え られる。しかし、後列タンクのみがこのような結果とな ったため、格子状配列という条件が影響を与えている 可能性が高い。

3-2. 千鳥配列のタンク群へ作用する津波波力

千鳥配列 case4~6 における後列タンクに作用する津 波波力の測定結果を図6に示す。図4と同様、縦軸は タンクに作用する最大波力を表しており、比較のため 岸沖・沿岸方向の間隔が等しい格子配列(case2)の後列 タンクを加えた。 この図よりタンク C に比べタンク D に作用する津波波力が大きいことがわかる。これはタ ンク D の両側にタンクが存在しているのに対し、タン ク C は片側のみにタンクが存在しているためであり、 今回の実験条件の場合、両端にタンクが存在する場合 は片側のみにタンクがある場合に比べ 3 割程度波力が 上昇する結果となり、規則的に配置されたタンクへの 作用波力が配置条件の影響を受けていることが明らか になった。波力はタンク C・D ともに case4 で最大とな っており、case2(格子配列)の同位置のタンクと比較す ると、最大で約1.3倍の波力を計測した。千鳥配列の場 合は前列タンクの波の遮蔽効果が小さくなることがわ かる。また case4 の後列タンクは沖側からみた場合、前 列タンク間の中央に位置するため前列タンクの波の遮 蔽効果が他の case よりも低くなったと考えられる。

4. まとめ

- 1) 格子状配列の場合、格子間隔が狭いほど前列タンク に作用する津波波力が大きくなり、後列タンクに作 用する津波波力はより低減される。
- 2) タンク周囲の無次元水位 α は前列タンクの場合、既 往の算定式の範囲内にある程度存在したが、後列タ ンクの場合は範囲外に多く存在する結果となった。
- 3) 千鳥配列の場合、後列タンクには格子配列の後列タンクに比べ最大で約1.3 倍の津波波力が作用する。

5. 今後の検討

実験の規模を見直し、複数の入射波条件の下で実験 を行い規則的に配置された構造物に作用する津波波力 と配置条件の関係について検討を行う。

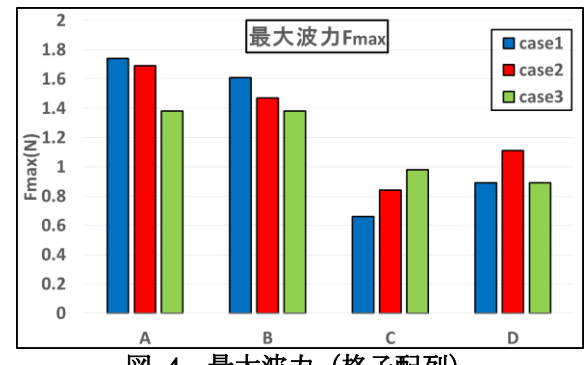


図 4 最大波力(格子配列)

表 1 最大波力と後列タンクの減少率

_	前列[N]	後列[N]	減少率 [%]
case1	1. 67	0. 77	53. 73
case2	1. 58	0. 97	38. 29
case3	1. 38	0. 93	32. 24

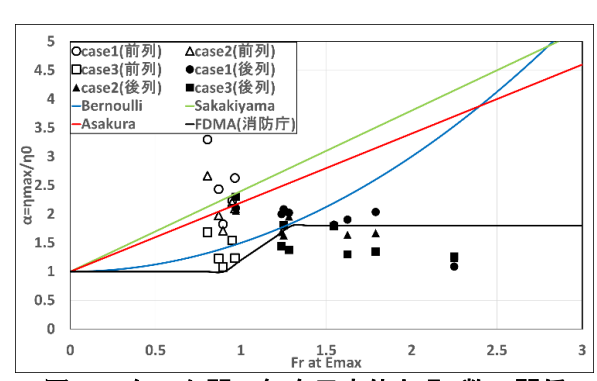


図 5 タンク間の無次元水位と Fr 数の関係

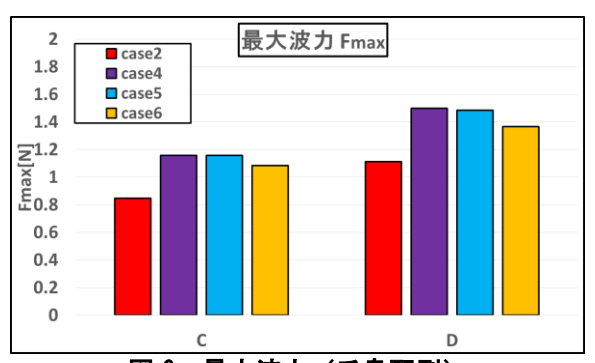


図 6 最大波力(千鳥配列)